

## ТЕОРИЯ ПРЫЖКОВОЙ ФОТОПРОВОДИМОСТИ ПРИ ДЛИННОВОЛНОВОМ ВОЗБУЖДЕНИИ

Резин И. М., Шкловский Б. И.

Построена теория частотной зависимости низкотемпературной прыжковой фотопроедимоети, возникающей под действием инфракрасного света в системе с локализованными состояниями (ЛС) вблизи уровня Ферми, например в аморфном полупроводнике. Большинство поглощающих свет близких пар ЛС не дает вклада в фотопроедимость, так как электрон и дырка рекомбинируют, не покидая такой пары. Показано, что фотопроедимость обусловлена лишь редкими поглощающими свет парами, которые обладают цепочками ЛС, позволяющими электрону и дырке разойтись на большое расстояние. Такую пару можно представить себе как фотоэлемент с «проводами», в то время как типичная поглощающая пара проводов лишена.

Во многих неупорядоченных системах, например в аморфном полупроводнике, все состояния вблизи уровня Ферми локализованы, так что при низких температурах  $T$  темновая проекдимость имеет прыжковый характер. Настоящая работа посвящена фотопроедимости такого полупроводника, возникающей при  $T=0$  под действием инфракрасного света с энергией кванта  $\hbar\omega \ll \epsilon_g$ , где  $\epsilon_g$  — щель подвижности. Такие кванты поглощаются лишь за счет переходов между локализованными состояниями (ЛС) вблизи уровня Ферми (рис. 1), где, за исключением довольно узкой области кулоновской щели, плотность состояний  $g$  можно считать постоянной величиной. Аналогичная задача возникает при исследовании прыжковой фотопроедимости в примесной зоне легированного кристаллического полупроводника. Это явление наблюдалось в работе [1].

Нас будет интересовать в основном зависимость статической фотопроедимости от частоты света  $\hbar\omega$ , т. е. спектр возбуждения фотопроедимости при малых  $\omega$ . Ранее этот вопрос рассматривался Звягиным [2], который предположил, что при  $\omega \rightarrow 0$

$$\sigma(\omega) \propto \exp[-C(T_0/\hbar\omega)^{1/2}], \quad (1)$$

где  $T_0 = \beta/ga^3$  — характерная температура в законе Мотта  $\sigma = \sigma_0 \times \exp[-(T_0/T)^{1/4}]$  для темновой проекдимости,  $a$  — радиус локализации состояний вблизи уровня Ферми,  $C$  и  $\beta$  — численные коэффициенты. Далее мы покажем, что в действительности  $\sigma(\omega)$  больше (1) и значительно слабее убывает при уменьшении частоты  $\omega$ :

$$\sigma(\omega) \propto \exp\left[-\frac{1}{6 \ln 2} \ln^2\left(\frac{T_0}{\hbar\omega}\right)\right]. \quad (2)$$

Общий подход к вычислению прыжковой фотопроедимости был сформулирован в работах [3, 4], где решалась задача о фотопроедимости аморфного полупроводника при возбуждении электронов из хвоста валентной зоны в хвост зоны проекдимости. Далее мы модифицируем теорию [3, 4] для интересующего нас случая длинноволнового возбуждения. Благодаря экспоненциальной зависимости интеграла перекрытия двух ЛС от расстояния между ними

$$I(r) = I_0 \exp(-r/a) \quad (3)$$

основная часть возбуждающих квантов поглощается компактными парами ЛС с плечом [5]

$$r_{\omega} \approx a \ln \frac{I_0}{\hbar\omega}. \quad (4)$$

Родившиеся рядом электрон (заполненное ЛС выше уровня Ферми) и дырка (пустое ЛС ниже уровня Ферми) после возбуждения начинают релаксировать по энергии, приближаясь к уровню Ферми и удаляясь друг от друга в пространстве. Время прыжка между ЛС вниз по энергии экспоненциально зависит от длины прыжка

$$\tau(r) = \tau_0 \exp(2r/a). \quad (5)$$

Будем считать, что  $a$  — наименьшая длина в задаче, так что электрон практически всегда прыгает на ближайшее ЛС. С каждым прыжком электрона концентрация доступных для него пустых ЛС уменьшается, грубо говоря, в 2 раза.

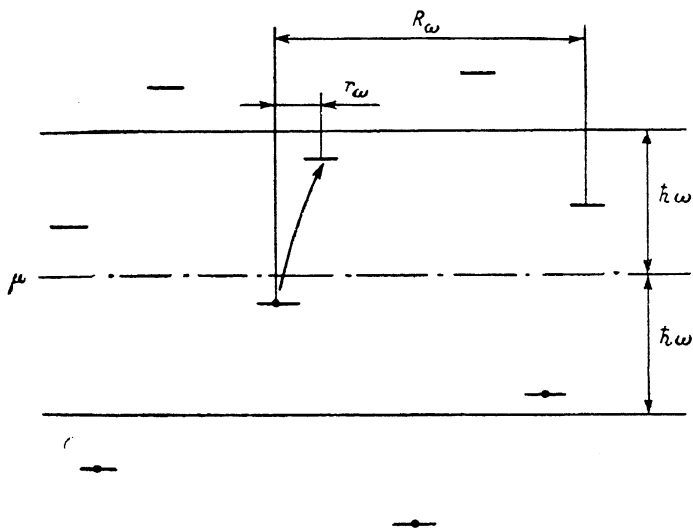


Рис. 1. Типичное окружение компактной пары.

Штрихпунктирная линия — уровень Ферми. Стрелкой показан переход под действием инфракрасного света.

Соответственно в геометрической прогрессии растет длина прыжка. В конце концов электрон оказывается ниже уровня Ферми, т. е. рекомбинирует. При этом у него есть две возможности: либо рекомбинировать со своей дыркой (близнецовая рекомбинация), либо, диффундируя, оторваться от нее и рекомбинировать с другой дыркой (междупарная рекомбинация). Электроны, рекомбинирующие близнецовым способом, не вносят вклада в ток, поскольку весь дипольный момент, созданный за счет влияния электрического поля на процесс релаксации, исчезает при рекомбинации. Таким образом, фотопроводимость определяется электронами, которые рекомбинируют междупарно. Согласно [3, 4], для вычисления  $\sigma$  надо прежде всего найти стационарную концентрацию неравновесных носителей  $n$ , которая возникает под действием света, создающего  $G$  электронно-дырочных пар в единицу объема в 1 с. Это делается с помощью решения уравнения баланса междупарной рекомбинации

$$G\eta(n^{-1/2}) = n/\tau(n^{-1/2}), \quad (6)$$

где  $\eta(R)$  — вероятность того, что электрон, не претерпев рекомбинации отойдет на расстояние  $R$  от дырки. Найдя  $n$ , мы узнаем концентрацию электронов  $G\eta(n^{-1/2})$ , междупарно рекомбинирующих в единицу времени. Тогда для фотопроводимости получаем

$$\sigma = G\eta(n^{-1/2}) p_x/E, \quad (7)$$

где  $p_x$  — проекция на ось  $x$  дипольного момента, набранного электроном в процессе релаксации в электрическом поле  $E$  (поле направлено вдоль  $x$ ) к моменту рекомбинации. Распределение вероятностей каждого шага асимметрично по оси  $x$ , поскольку концентрация состояний, доступных для электрона, меняется с  $x$  по закону

$$N(x) = N(0) + eExg. \quad (8)$$

Так как при релаксации электрона по энергии длины его шагов растут в геометрической прогрессии, величина суммарного дипольного момента  $p_x$  определяется его последним шагом перед междупарной рекомбинацией. На этом шаге  $N(0) \sim n$ , поэтому для среднего значения координаты  $x$  ближайшего ЛС получаем  $x = 1/3 n^{-1/3} (eEn^{-1/3})gn^{-1}$ , т. е.

$$p_x = 1/3 e^2 E n^{-5/3} g. \quad (9)$$

Подставив (9) в (7), получим

$$\sigma = 1/3 G \eta (n^{-1/3}) e^2 n^{-5/3} g. \quad (10)$$

Видно, что дальнейшее вычисление  $\sigma$  требует конкретизировать выражение для функции  $\eta(R)$ , описывающей рекомбинацию и диффузию одной изолированной электронно-дырочной пары. Оставшаяся часть работы посвящена этой задаче.

Нас будут интересовать малые интенсивности света  $G$ , когда  $n \ll g\hbar\omega$ , т. е. полоса шириной  $\hbar\omega$  вокруг уровня Ферми слабо заселена. Тогда  $n^{-1/3} \gg R_\omega$ , где

$$R_\omega = (g\hbar\omega)^{-1/3} \quad (11)$$

— среднее расстояние между ЛС указанной полосы. Таким образом, нас интересует  $\eta(R)$  при  $R \gg R_\omega$ . Запишем  $\eta(R)$  для таких  $R$  в виде

$$\eta(R) = \eta(R_\omega) \eta_1(R_\omega, R), \quad (12)$$

где  $\eta_1(R_\omega, R)$  — вероятность того, что электрон, находящийся в начальный момент на расстоянии  $R_\omega$  от своей дырки, уйдет от нее на расстояние  $R \gg R_\omega$ , не претерпев рекомбинации. Эта вероятность фактически вычислена в работах [3, 4] и равна

$$\eta_1(R_\omega, R) = (R_\omega/R)^\beta, \quad (13)$$

где  $\beta$  — критический индекс. Возникновение степенного поведения (13) связано с тем, что на первом и последующих шагах расстояние от электрона до дырки  $R$  и длина следующего возможного прыжка оказываются одного порядка, и благодаря флуктуациям этих длин ни один из этих процессов не доминирует. В рассматриваемой нами задаче радиусы локализации дырки и электрона одинаковы, поэтому обе частицы в среднем вносят одинаковый вклад в их диффузионное расхождение.<sup>1</sup> Для этого случая индекс  $\beta \leq 0.95$  [3, 4].

Величина  $\eta(R_\omega, R)$ , таким образом, не вносит экспоненциально малых факторов в (12) и (10). Основной интерес для нас представляет величина  $\eta(R_\omega)$ , которая описывает вероятность выбраться из компактной пары с плечом  $r_\omega$  на среднее расстояние  $R_\omega$ . Ясно, что при малых  $\omega$

$$R_\omega \gg r_\omega. \quad (14)$$

Тогда из (5) вытекает, что электрон, родившийся в паре с плечом  $r_\omega$ , с подавляющей вероятностью рекомбинирует до прыжка на расстояние  $R_\omega$ . Вероятность того, что он все-таки сделает этот прыжок, есть

$$\eta(R_\omega) \propto \exp\left(-\frac{R_\omega}{a}\right) = \exp\left[-C\left(\frac{T_0}{\hbar\omega}\right)^{1/3}\right]. \quad (15)$$

У электрона имеется и другая возможность оказаться на расстоянии  $R_\omega$  от дырки. Для этого он должен сразу под действием света родиться в паре с пле-

<sup>1</sup> На существование этой симметрии обратил наше внимание И. П. Звягин.

чом  $R_\omega$ . Главный экспоненциальный множитель вероятности такого события также дается формулой (15). Таким образом, вклад типичных пар с плечом  $r_\omega$  в  $\eta(R_\omega)$  экспоненциально мал. Отсюда, естественно, может возникнуть предположение, что  $\sigma(\omega)$  имеет вид (1). Однако это не так, поскольку существует еще одна возможность ухода электрона от дырки.

Как мы сейчас покажем, основной вклад в  $\eta(R_\omega)$  дают очень редкие пары ЛС с плечом  $r_\omega$ , обладающие цепочкой ЛС, по которой электрон, все время опускаясь по энергии, может уйти на расстояние  $R_\omega$ . Если поглощающую пару представить в виде фотозлемента, то такие цепочки можно сравнить с проводами, соединяющими фотозлемент с внешней цепью. Опишем устройство такого «провода», предположив, что он состоит только из ЛС с энергией выше уровня Ферми, так что двигается только электрон, а дырка неподвижна и находится в начале координат. Позже мы обсудим, к чему приводит учет возможного движения дырки.

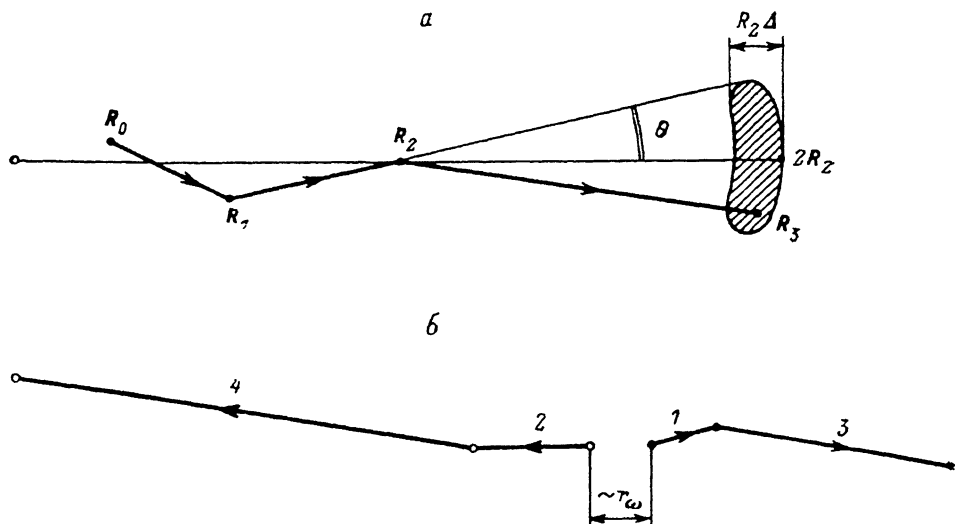


Рис. 2. Цепочки локализованных состояний — «провода».

Черными точками показаны локализованные состояния для электрона (расположенные выше уровня Ферми), светлыми — для дырки. Стрелки указывают направления прыжков частиц. а — провод, состоящий только из электронных состояний, б — провода из электронных и дырочных состояний. Номера у стрелок показывают последовательность прыжков.

Как уже говорилось, электрон в процессе релаксации всегда прыгает на ближайшее свободное ЛС. Если таковым оказывается дырка, он рекомбинирует. Иными словами, для того чтобы электрон мог дойти до конца провода, не рекомбинируя, для каждого  $k$ -го звена, состоящего из двух ЛС с координатами  $R_k$  и  $R_{k+1}$ , должно выполняться неравенство

$$|R_{k+1} - R_k| < R_k. \quad (16)$$

Это неравенство в свою очередь может реализоваться только в случае, когда  $R_{k+1} < 2R_k$ . Таким образом, электрон уходит от дырки лишь по тем цепочкам, в которых расстояние от дырки до каждого следующего узла нарастает не слишком быстро, а именно  $R_{k+1} < 2R_k$ . Вероятности образования различных проводов, отвечающих этому условию, экспоненциально сильно различаются. Основной же вклад в уход электронов будут давать наиболее вероятные провода. Поскольку вероятность образования каждого звена, как мы видели, много меньше единицы, наиболее вероятные провода должны иметь возможно меньшее число звеньев. Идеальным в этом смысле проводом является вытянутая в линию последовательность узлов, представляющая собой точную геометрическую прогрессию со знаменателем 2:  $R_{k+1} = 2R_k$ . Однако вероятность реализации провода, в точности совпадающего с идеальным, равна нулю, так как равен нулю соответствующий фазовый объем, поэтому уход электронов

будет происходить в основном по проводам, слабо отличающимся от идеального. Это отличие мы будем приближенно характеризовать углом  $\theta$  и допуском  $\Delta$  (рис. 2, а). Тогда увеличение расстояния на  $k$ -м шаге можно описать соотношением

$$R_{k+1} = 2(1 - \theta^2 - \Delta) R_k. \quad (17)$$

Далее мы убедимся в том, что основной вклад в  $\eta(R)$  дают сильно вытянутые провода с  $\Delta$ ,  $\theta \ll 1$ . Учитывая то, что  $R_0 \sim r_\omega$ , из (17) получаем

$$R_k = r_\omega \exp [k(\ln 2 - \Delta - \theta^2)]. \quad (18)$$

Полное число звеньев  $m$  в проводе длиной  $R$  находится из условия  $R_m = R$  и равно

$$m = \left( \frac{1}{\ln 2} + \frac{\theta^2 + \Delta}{\ln^2 2} \right) \ln \frac{R}{r_\omega}. \quad (19)$$

Вероятность образования  $k$ -го звена провода определяется вероятностью  $p_k \sim N_k R_k^3 \theta^2 \Delta$  найти ЛС в характерном объеме  $R_k^3 \theta^2 \Delta$ , где  $N_k$  — концентрация доступных для электрона ЛС после  $k$ -го прыжка. Концентрация  $N_k$  сама является случайной величиной, поскольку убывает на каждом прыжке в случайное число раз:  $N_{k+1} = \xi N_k$ , где  $\xi$  равномерно распределено от нуля до единицы [4]. Таким образом, в среднем концентрация убывает на каждом прыжке в 2 раза. Ясно, однако, что с точки зрения вероятности образования провода выгодно, чтобы  $N_k$  убывало с  $k$  медленнее. Этого можно добиться, выбирая каждый раз ЛС с энергией, близкой к энергии предыдущего узла. Потребуем, чтобы каждый раз величина  $\xi$  не выходила из заданного интервала  $1 - q < \xi < 1$ , где  $q \ll 1$ . Вероятность каждого такого события порядка  $q$ , при этом

$$N_k \sim R_\omega^{-3} (1 - q)^k = R_\omega^{-3} \exp(-qk). \quad (20)$$

Тогда для вероятности образования провода из  $m$  звеньев  $w_m$  получаем

$$w_m = \prod_{k=1}^m q P_k = \prod_{k=1}^m (q \theta^2 \Delta R_k^3 N_k). \quad (21)$$

После подстановки (18) и (20) в выражение (21) произведение по  $k$  в (21) легко вычисляется:

$$w_m = \exp \left[ -3m \ln \left( \frac{R_\omega}{r_\omega} \right) + \frac{3m^2}{2} \left( \ln 2 - \Delta - \theta^2 - \frac{q}{3} \right) - m \ln \left( \frac{1}{q \theta^2 \Delta} \right) \right]. \quad (22)$$

Искомая вероятность ухода  $\eta(R)$  получается оптимизацией вероятности образования провода (22) по  $m$ ,  $\Delta$ ,  $\theta^2$  и  $q$  с помощью (19). Максимум (22) достигается при

$$\theta^2 \sim \Delta \sim q \sim \frac{1}{m}, \quad m \simeq \frac{1}{\ln 2} \ln \left( \frac{R}{r_\omega} \right),$$

т. е. величины  $\theta^2$ ,  $\Delta$  и  $q$ , как мы и предполагали, малы. Поскольку сами эти величины определены с точностью до численных коэффициентов, в показателе экспоненты мы должны опустить члены порядка  $m \sim \ln(R/r_\omega)$ . В результате с экспоненциальной точностью имеем

$$\eta(R) \sim \exp \left[ -\frac{3}{\ln 2} \ln \left( \frac{R}{r_\omega} \right) \ln \left( \frac{R_\omega}{r_\omega} \right) + \frac{3}{2 \ln 2} \ln^2 \left( \frac{R}{r_\omega} \right) \right]. \quad (23)$$

Полученное выражение справедливо при не слишком больших  $R \ll \bar{R}$ , когда вероятность образования каждого звена мала:  $w_k/w_{k-1} \ll 1$ . Характерный масштаб  $\bar{R} \sim r_\omega 2^m$  находится из условия  $w_m/w_{m-1} \sim 1$ , которое, учитывая экспоненциальную малость  $w_m$ , можно представить в виде  $d \ln w_m / dm = 0$ , или  $d \ln \eta / d \ln R = 0$ , откуда  $\bar{R} \sim R_\omega$ . Такой результат неудивителен, так как за  $m$  прыжков концентрация доступных ЛС падает лишь в  $\exp(qm) \sim e$  раз,

так что электрон «догоняет» типичное ЛС на расстоянии  $R \sim R_w$ . Подставляя  $R=R_w$  в (23), для  $\eta(R_w)$  имеем

$$\eta(R_w) \sim \exp\left(-\frac{3}{2 \ln 2} \ln^2 \frac{R_w}{r_w}\right), \quad (24)$$

откуда для проводимости  $\sigma(\omega) \propto \eta(r_w)$  получается формула (2) с  $T_0 \sim 1/gr_w^3$ , слабо зависящей от частоты  $\omega$ .

До сих пор мы предполагали, что провод представляет собой цепочку ЛС для электрона. В действительности же каждое  $k$ -е ЛС может быть либо электронным (тогда оно наращивает цепочку со стороны электрона), либо дырочным (со стороны дырки). При этом в обоих случаях плечо пары по-прежнему увеличивается почти в 2 раза:  $R_{k+1} \simeq 2R_k$  (рис. 2, б). Поэтому весь проделанный нами расчет остается в силе, следует лишь учесть возможность выбора из двух типов ЛС при образовании очередного звена, умножив вероятность образования цепочки (22) на фактор  $2^m$ . В окончательном ответе, однако, это ничего не изменит, так как точность, с которой получено выражение (24), не позволяет удерживать в показателе экспоненты члены порядка  $m \sim \ln(R_w/r_w)$ .

Рассмотрим в заключение, как меняются полученные результаты при учете кулоновской щели в плотности состояний. Как известно [6], кулоновское взаимодействие электронов на ЛС приводит к тому, что по мере приближения к уровню Ферми плотность состояний  $g$  убывает по универсальному закону

$$g(\epsilon) = \alpha \left(\frac{x}{\epsilon^2}\right)^3 \epsilon^2, \quad (25)$$

где  $\epsilon$  — энергия ЛС, отсчитанная от уровня Ферми,  $\alpha$  — численный коэффициент,  $x$  — диэлектрическая проницаемость. Характерная ширина щели  $\Delta$ , в пределах которой реализуется зависимость (25), находится из условия  $g(\Delta) \sim g_0$  и равна  $\Delta \sim g_0^{1/2} (\epsilon^2/x)^{1/2}$ , где  $g_0$  — плотность состояний при больших энергиях, когда эффекты, приводящие к образованию щели, несущественны. Наиболее сильное влияние на фотопроводимость кулоновская щель оказывает в случае, когда ее ширина  $\Delta$  является наибольшей энергией в задаче, так что  $\Delta \geq e^2/xr_w \gg \hbar\omega$ . Это условие может реализоваться при низких частотах  $\omega$  в примесной зоне легированного полупроводника.<sup>2</sup>

Пусть в результате поглощения кванта с энергией  $\hbar\omega$  произошел электронный переход между состояниями, обладавшими до перехода энергиями  $\epsilon_1 < 0$  и  $\epsilon_2 > 0$  соответственно. После перехода второй уровень должен опуститься до энергии  $\epsilon'_2 = \epsilon_2 - e^2/xR_0$ , где  $R_0 \sim r_w$  — плечо родившейся пары, откуда

$$\epsilon_2 - \epsilon_1 - e^2/xR_0 = \hbar\omega.$$

Таким образом,  $\epsilon_2 \sim e^2/xR_0 \gg \hbar\omega$ . Совершенно аналогично на каждом последующем прыжке из точки  $R_{k-1}$  в точку  $R_k \simeq 2R_{k-1}$  энергия  $k+1$ -го ЛС перед прыжком есть  $\epsilon_k \simeq e^2/xR_k$ . Это приводит к тому, что в выражении (20) концентрация ЛС в полосе  $\hbar\omega$  при постоянной плотности состояний  $g_0$ , равная  $R_{w,i}^{-3} = g_0 \hbar\omega$ , должна быть заменена на зависящую от  $R_k$  величину

$$g\left(\frac{e^2}{xR_k}\right) \hbar\omega = \frac{1}{R_w' R_k^2},$$

где среднее расстояние между ЛС  $R_w'$  определяется теперь как  $R_w' = e^2/x\hbar\omega$ . В результате мы приходим к выражению вида (24) с  $R_w'$  вместо  $R_w$  и численным коэффициентом  $1/2 \ln 2$  вместо  $3/2 \ln 2$ . Окончательное выражение для фотопроводимости имеет вид

$$\sigma(\omega) \propto \exp\left[-\frac{1}{2 \ln 2} \ln^2 \left(\frac{T'_0}{\hbar\omega}\right)\right], \quad (26)$$

где  $T'_0 = e^2/xr_w$ . Как видно из сравнения формул (2) и (26), кулоновские эффекты приводят к значительному уменьшению низкочастотной фотопроводимости.

<sup>2</sup> В этом случае при  $Na^3 \sim 1$ , где  $N$  — концентрация примесей, величины  $\Delta$ ,  $e^2/xr_w$  и характерная ширина примесной зоны оказываются порядка боровской энергии. В аморфном полупроводнике, напротив, из-за малости  $g_0$  щель  $\Delta$  очень узка (0.1 эВ),  $r_w \sim 10 \text{ \AA}$ , так что приведенное условие не выполняется.

Список литературы

- [1] Гершензон Е. М., Ильин В. А., Литвак-Горская Л. Б., Филавович С. Р. // ЖЭТФ. 1979. Т. 76. В. 2. С. 238—250.
- [2] Zvyagin I. P. // Phys. St. Sol. 1978. V. B88. N 2. P. 149—157.
- [3] Shklovskii V. I., Fritzsche H., Baranovskij S. D. // Phys. Rev. Lett. 1989.
- [4] Барановский С. Д., Фрицше Х., Левин Е. И., Рузин И. М., Шкловский В. И. // ЖЭТФ. 1989. Т. 96. В. 10. С. 1362—1380.
- [5] Mott N. F., Davis E. A. Electronic processes in Non-Crystalline Materials. Oxford, 1979. 664 p.
- [6] Шкловский В. И., Эфрос А. Л. Электронные свойства легированных полупроводников. М., 1979. 416 с.

Физико-технический институт  
им. А. Ф. Иоффе АН СССР  
Ленинград

Получена 6.06.1989  
Принята к печати 9.06.1989

